



دانشکده علوم

گروه فیزیک

پایان نامه کارشناسی ارشد

عنوان:

محاسبه ساختار الکترونی و ساختار نوارهای انرژی ZnS با استفاده از روش  
امواج تخت تقویت شده خطی با پتانسیل کامل

نگارش:

پوریا ارزانی بیرگانی

استاد راهنما:

دکتر حمدالله صالحی

استاد مشاور:

دکتر مجتبی جعفرپور

شهریور ۸۸

## ((چکیده ی پایان نامه))

<b>نام خانوادگی:</b> پوریا ارزانی بیرگانی	<b>نام:</b> پوریا
عنوان پایان نامه: محاسبه ی ساختار الکترونی و ساختار نوارهای انرژی ZnS با استفاده از روش امواج تخت تقویت شده خطی با پتانسیل کامل	
<b>استاد راهنما:</b> دکتر حمدا...صالحی	<b>استاد مشاور:</b> دکتر مجتبی جعفرپور
<b>درجه ی تحصیلی:</b> کارشناسی ارشد	<b>رشته:</b> فیزیک
<b>گرایش:</b> حالت جامد نظری	
<b>محل تحصیل:</b> دانشگاه شهید چمران اهواز	<b>دانشکده:</b> علوم
<b>تاریخ فارغ التحصیلی:</b> شهریورماه ۸۸	
<b>تعداد صفحه:</b>	
<b>واژه های کلیدی:</b> ترکیب ZnS، فاز ZB، فاز WZ، فاز RS، نظریه ی تابعی چگالی، ثابت شبکه، مدول حجمی، نوارهای انرژی، هم پوشانی، چگالی حالت، چگالی ابر الکترونی	
<b>چکیده:</b>	
<p>در این پایان نامه، خصوصیات ساختاری و الکترونی ترکیب ZnS در سه فاز بلندروی (ZB)، ورتسایت (WZ) و نمک طعام (RS) مورد بررسی و محاسبه قرار گرفته است. محاسبات با استفاده از روش امواج تخت تقویت شده خطی با پتانسیل کامل (FP-LAPW)، در چارچوب نظریه ی تابعی چگالی و با تقریب های مختلف و نرم افزار Wien2k انجام گرفته است. ثابت های شبکه که در محاسبات به کار رفته اند برای ساختار ZB برابر با <math>a=5/4 \cdot 0.9 \text{ \AA}</math>، ساختار ورتسایت برابر با <math>a=6/23 \text{ \AA}</math>، <math>a=b=3/81 \text{ \AA}</math> و برای نمک طعام <math>a=5/0.6 \text{ \AA}</math> می باشند.</p> <p>در این پایان نامه خصوصیات ساختاری ترکیب ZnS از جمله ثابت های شبکه، مدول حجمی، تراکم پذیری و مشتق تراکم پذیری نسبت به فشار در سه تقریب GGA96، GGA91 و LDA محاسبه شده است. نتایج به دست آمده بیانگر این است که محاسبات با استفاده از تقریب GGA96 نسبت به سایر تقریب ها سازگاری بیشتری با نتایج تجربی دارد. همچنین محاسبات با در نظر گرفتن قطبش اسپیری نیز انجام شد که تفاوت محسوسی با حالت بدون قطبش اسپیری نداشت.</p> <p>نتایج به دست آمده نشان می دهد که تراکم پذیری فاز نمک طعام کمتر از فاز بلندروی و فاز ورتسایت بوده و تراکم پذیری بلندروی و ورتسایت تقریباً یکسان هستند همچنین اعمال فشار باعث فشردگی بلور می شود.</p> <p>از طرف دیگر ساختار نوارهای انرژی نشان می دهد که این بلور یک نیم رسانا با گاف نواری پهن است که در فازهای ZB و WZ این گاف نواری مستقیم و در فاز RS غیر مستقیم است و چگالی حالت های انرژی نیز تأییدی بر این مورد است. همچنین محاسبات چگالی ابر الکترونی نشان می دهد که ترکیب دارای یک پیوند کووالانسی قطبی است که خاصیت کووالانسی در فاز نمک طعام از دیگر فازها کمتر است. نتایج به دست آمده سازگاری خوبی با نتایج تجربی و نظری به دست آمده توسط دیگران دارد.</p>	

فصل اول: ویژگی‌های ساختاری و فیزیکی ترکیب ZnS

۱-۱	مقدمه	۱
۲-۱	ساختارهای بلوری	۴
۱-۲-۱	ساختار و ویژگی‌های فاز بلندروی	۵
۲-۲-۱	ساختار ورتسایت	۶
۳-۲-۱	ساختار نمک طعام	۷
۴-۲-۱	ساختار مکعبی ساده	۸
۵-۲-۱	ساختار ناپایدار cinnabar	۹
۳-۱	رشد بلور و ساخت ترکیب	۱۰
۱-۳-۱	رشد از ماده ی مذاب	۱۰
۲-۳-۱	رشد از محلول	۱۱
۳-۳-۱	روش رشد فاز بخار	۱۲
الف:	روش سنتز مستقیم	۱۲
ب:	ترابرد فیزیکی گاز	۱۲
ج:	ترابرد شیمیایی بخار	۱۳
۴-۳-۱	روش تهیه ترکیب سولفیدروی	۱۳
۴-۱	ویژگی‌های ترکیب ZnS	۱۴
۱-۴-۱	ویژگی‌های ساختاری و کشسانی	۱۴
۲-۴-۱	گذار فاز	۱۷
۳-۴-۱	هدایت گرمایی	۱۸

## فهرست مطالب

صفحه

عنوان

۲۰.....	۴ ۴ ۱ ویژگی‌های نوری.....
۲۲.....	۵-۱ کاربردها.....
<b>فصل دوم: نظریه‌ی تک الکترونی</b>	
۲۴.....	۱-۲ مقدمه.....
۲۶.....	۲-۲ سیستم‌های بس ذره‌ای.....
۲۷.....	۱-۲-۲ نظریه‌ی تک الکترونی.....
۲۸.....	۲-۲-۲ تقریب بورن-اپن‌هایمر.....
۲۸.....	۳-۲ رهیافت تابع موج.....
۲۹.....	الف: تقریب هارتری.....
۳۰.....	ب: تقریب هارتری - فوک - اسلیتر.....
۳۰.....	۴-۲ رهیافت تابعی چگالی.....
۳۲.....	۱-۴-۲ نظریه‌ی توماس-فرمی - دیراک.....
۳۲.....	۲-۴-۲ قضایای هوهنبرگ - کوهن.....
۳۵.....	۳-۴-۲ معادلات کوهن-شم.....
۳۹.....	۵-۲ تقریب‌های مهم جهت محاسبه‌ی پتانسیل تبادلی - همبستگی.....
۳۹.....	۱-۵-۲ تقریب چگالی موضعی (LDA).....
۴۰.....	۲-۵-۲ تقریب چگالی موضعی اسپینی (LSDA).....
۴۲.....	۳-۵-۲ تقریب شیب تعمیم یافته (GGA).....
۴۴.....	۶-۲ شمای کلی DFT.....

فصل سوم: روش‌های محاسبه‌ی ساختار نواری

۴۶	۱-۳ مقدمه
۴۶	۲-۳ روش‌های حل معادلات کوهن - شم
۴۷	۱-۲-۳ امواج تخت (PW)
۴۸	۲-۲-۳ روش امواج تخت متعامد (OPW)
۴۹	۳-۲-۳ روش امواج تخت تقویت شده (APW)
۵۳	۴ ۲ ۳ روش امواج تخت تقویت شده خطی (LAPW)
۵۵	۵ ۲ ۳ روش امواج تخت تقویت شده خطی با پتانسیل کامل (FP-LAPW)
۵۶	۶ ۲ ۳ روش امواج تخت تقویت شده خطی همراه با اربیتال‌های موضعی (LAPW+LO)
۵۸	۳-۳ برنامه‌ی محاسباتی
۵۹	۱-۳-۳ فایل ورودی برنامه
۶۰	۲-۳-۳ آماده‌سازی و تکمیل اطلاعات جهت اجرای برنامه
۶۱	۳-۳-۳ حل معادلات به صورت خود-سازگار (SCF)
۶۴	۴-۳-۳ بررسی خواص ترکیب
۶۴	الف: بررسی خواص ساختاری ترکیب
۶۴	ب: بررسی خواص الکترونی ترکیب

فصل چهارم: محاسبه‌ی پارامترهای ساختاری و خواص الکترونی ترکیب ZnS

۶۶	۱-۴ مقدمه
۶۷	۲-۴ روش محاسبات

## فهرست مطالب

صفحه

عنوان

- ۳-۴ بررسی خواص ترکیب ZnS در فاز RS..... ۶۹
- ۱-۳-۴ بررسی خواص ساختاری ترکیب ZnS در فاز RS..... ۶۹
- الف: بار مؤثر..... ۷۲
- ب: بررسی تأثیر فشار بر روی ساختار RS- ZnS..... ۷۳
- ج: تراکم پذیری بلور RS-ZnS..... ۷۵
- ۲-۳-۴ بررسی خواص الکترونی ساختار RS-ZnS..... ۷۷
- الف: ساختار نوارهای انرژی RS-ZnS..... ۷۷
- ب: چگالی حالت‌های RS-ZnS..... ۸۰
- ج: چگالی ابر الکترونی..... ۸۲
- ۴-۴ بررسی خواص ترکیب در فاز ZB..... ۸۳
- ۱-۴-۴ بررسی خواص ساختاری ترکیب ZnS در فاز ZB..... ۸۳
- الف: بار مؤثر..... ۸۶
- ب: بررسی تأثیر فشار بر روی ساختار ZB- ZnS..... ۸۷
- ج: تراکم پذیری بلور ZB-ZnS..... ۸۸
- ۲-۴-۴ بررسی خواص الکترونی ساختار ZB-ZnS..... ۹۰
- الف: ساختار نوارهای انرژی ZB-ZnS..... ۹۰
- ب: چگالی حالت‌های ZB-ZnS..... ۹۳
- ج: چگالی ابر الکترونی..... ۹۶
- ۵-۴ بررسی خواص ترکیب ZnS در فاز WZ..... ۹۷
- ۱-۵-۴ بررسی خواص ساختاری ترکیب ZnS در فاز WZ..... ۹۷

## فهرست مطالب

صفحه

عنوان

- الف: بار مؤثر..... ۱۰۰
- ب: بررسی تأثیر فشار بر روی ساختار WZ- ZnS ..... ۱۰۱
- ۴-۵-۲ بررسی خواص الکترونی ساختار WZ-ZnS..... ۱۰۲
- الف: ساختار نوارهای انرژی WZ-ZnS..... ۱۰۲
- ب: چگالی حالت‌های WZ-ZnS ..... ۱۰۳
- ج: چگالی ابر الکترونی ..... ۱۰۵
- ۴-۶ بحث و نتیجه‌گیری ..... ۱۰۶
- ۴-۷ چشم‌اندازی به آینده..... ۱۰۸
- انتشارات..... ۱۰۹
- مراجع ..... ۱۱۰
- واژه‌نامه..... ۱۱۳

جدول ۱-۱: مشخصات فیزیکی ترکیب ZnS.....	۴
جدول ۱-۲: ویژگی‌های ساختاری پنج فاز ترکیب ZnS.....	۱۴
جدول ۱-۳: ثابت‌های کشسانی مربوط به دو فاز ZB و RS.....	۱۶
جدول ۱-۴: پارامترهای ثابت شبکه، گروه فضایی و شعاع کره‌ی مافین-تین برای ساختارهای مختلف.....	۶۷
جدول ۲-۴: تقسیم‌الکترون‌های مغزه، شبه مغزه و ظرفیت در ZnS.....	۶۸
جدول ۳-۴: مقادیر داده‌های ورودی و خروجی در مرحله خود-سازگار (SCF).....	۶۸
جدول ۴-۴: پارامترهای ساختاری محاسبه شده در کار حاضر و مقایسه‌ی آن با نتایج دیگران برای RS-ZnS.....	۷۰
جدول ۴-۵: تجزیه‌ی بار اتم Zn در تقریب‌های مختلف برای ترکیب RS-ZnS.....	۷۱
جدول ۴-۶: تجزیه‌ی بار اتم S در تقریب‌های مختلف برای ترکیب RS-ZnS.....	۷۱
جدول ۴-۷: مقایسه‌ی نزدیک‌ترین فاصله‌ی بین اتم‌ها بر حسب A برای بلور RS-ZnS.....	۷۲
جدول ۴-۸: بار مؤثر اتم‌های تشکیل‌دهنده‌ی ترکیب برای بلور RS-ZnS.....	۷۳
جدول ۴-۹: مقادیر تراکم‌پذیری RS-ZnS در تقریب‌های مختلف.....	۷۶
جدول ۴-۱۰: تفکیک الکترون‌های اتم Zn و S در فاز بلندروی.....	۷۷
جدول ۴-۱۱: محاسبه‌ی گاف نوارهای انرژی در این کار و مقایسه با کارهای دیگران.....	۸۰
جدول ۴-۱۲: پارامترهای ساختاری محاسبه شده در کار حاضر و مقایسه‌ی آن با نتایج دیگران برای ZB-ZnS.....	۸۴
جدول ۴-۱۳: تجزیه‌ی بار اتم Zn در تقریب‌های مختلف برای ترکیب ZnS در فاز ZB.....	۸۵
جدول ۴-۱۴: تجزیه‌ی بار اتم S در تقریب‌های مختلف برای ترکیب ZnS در فاز ZB.....	۸۵
جدول ۴-۱۵: مقایسه‌ی نزدیک‌ترین فاصله‌ی بین اتم‌ها بر حسب A برای بلور ZB-ZnS.....	۸۶
جدول ۴-۱۶: بار مؤثر محاسبه شده برای اتم‌های تشکیل‌دهنده‌ی ZB-ZnS.....	۸۶
جدول ۴-۱۳: مقادیر تراکم‌پذیری ZB-ZnS در تقریب‌های مختلف.....	۸۹
جدول ۴-۱۴: تقسیم‌الکترون‌های مغزه، شبه مغزه و ظرفیت.....	۹۱
جدول ۴-۱۵: محاسبه‌ی گاف نوارهای انرژی در این کار و مقایسه با کارهای دیگران.....	۹۲
جدول ۴-۱۶: پارامترهای ساختاری محاسبه شده در کار حاضر و مقایسه‌ی آن با نتایج دیگران برای WZ-ZnS.....	۹۸
جدول ۴-۱۷: تجزیه‌ی بار اتم Zn در تقریب‌های مختلف برای ترکیب WZ-ZnS.....	۹۹
جدول ۴-۱۸: تجزیه‌ی بار اتم S در تقریب‌های مختلف برای ترکیب WZ-ZnS.....	۹۹



---

جدول ۴-۱۹: بار مؤثر محاسبه شده برای اتم‌های تشکیل دهنده ی WZ-ZnS ..... ۱۰۰

جدول ۴-۲۰: محاسبه‌ی گاف نوارهای انرژی در این کار و مقایسه با کارهای دیگران ..... ۱۰۴

- شکل ۱-۱: سلول واحد برای ساختار بلندروی..... ۵
- شکل ۲-۱: ساختار ورتسایت سولفیدروی..... ۶
- شکل ۳-۱: ساختار آلوتروپ‌های مختلف ZnS در فاز ورتسایت..... ۷
- شکل ۴-۱: ساختار نمک طعام سولفیدروی..... ۷
- شکل ۵-۱: ساختار مکعبی ساده ZnS..... ۸
- شکل ۶-۱: ساختار cinnabar ترکیب ZnS..... ۹
- شکل ۷-۱: رشد بلور از ماده مذاب در بوته ریخته‌گری..... ۱۰
- شکل ۸-۱: وابستگی  $C_{ij}$  و  $C_s$  به فشار..... ۱۶
- شکل ۹-۱: تغییرات انرژی کل با حجم برای چهار فاز ساختار ZnS..... ۱۸
- شکل ۱۰-۱: وابستگی ضریب هدایت گرمایی به دما در بس بلورها ی ترکیب ZnS..... ۱۹
- شکل ۱۱-۱: طیف نوری ZnS-w..... ۲۱
- شکل ۱-۲: شمای کلی نظریه‌ی تابعی چگالی..... ۴۵
- شکل ۱-۳: تقسیم‌بندی فضای درون یاخته‌ی بسیط..... ۵۰
- شکل ۲-۳: نمودار دترمینان  $|H_{ij} - \lambda S_{ij}| = 0$  بر حسب مقادیر انرژی E..... ۵۲
- شکل ۳-۳: اربیتال‌های موضعی و توابع پایه‌ی معمولی در روش LAPW+LO..... ۵۸
- شکل ۴-۳: فایل ورودی برنامه برای فاز بلندروی ترکیب ZnS..... ۶۰
- شکل ۵-۳: مراحل حل معادلات کوهن - شم به صورت خود- سازگار..... ۶۳
- شکل ۱-۴: یاخته‌ی قراردادی برای ترکیب ZnS(الف) فاز RS (ب) فاز Zb (ج) فاز ورتسایت..... ۶۸
- شکل ۲-۴: منحنی انرژی بر حسب حجم ساختار RS-ZnS در تقریب GGA96..... ۶۹
- شکل ۳-۴: نمودار تغییرات حجم RS-ZnS بر حسب فشار..... ۷۴
- شکل ۴-۴: نمودار تغییرات پارامتر شبکه‌ی ترکیب RS-ZnS بر حسب فشار..... ۷۴
- شکل ۵-۴: نمودار تغییرات Ina در فاز RS بر حسب حجم..... ۷۶
- شکل ۶-۴: ساختار نوارهای انرژی ترکیب ZnS..... ۷۸
- شکل ۷-۴: ساختار نوارهای انرژی اربیتال‌های s اتم‌های S(الف) Zn(ب) و p اتم‌های Zn(ج) S(د)..... ۷۹
- شکل ۸-۴: نمودار چگالی حالت‌های کلی برای ساختار RS-ZnS..... ۸۰

- شکل ۴-۹: چگالی حالت های جزئی مربوط به اربیتال های (الف) s و (ب) p اتم Zn (ج) s و (د) p اتم S ..... ۸۱
- شکل ۴-۱۰: نمودار چگالی ابر الکترونی برای ترکیب RS-ZnS در صفحه ی (۱۱۰) (الف) در سه بعد (ب) در دو بعد ..... ۸۲
- شکل ۴-۱۱: منحنی انرژی بر حسب حجم ساختار ZB-ZnS با استفاده از تقریب GGA96 ..... ۸۳
- شکل ۴-۱۲: نمودار تغییرات حجم سلول واحد ترکیب ZnS در فاز ZB بر حسب فشار ..... ۸۸
- شکل ۴-۱۳: نمودار تغییرات پارامتر شبکه ی ترکیب ZnS در فاز ZB بر حسب فشار ..... ۸۸
- شکل ۴-۱۴: نمودار تغییرات Ina بر حسب حجم برای ساختار ZB-ZnS ..... ۸۹
- شکل ۴-۱۵: ساختار نوارهای انرژی ترکیب ZB-ZnS ..... ۹۰
- شکل ۴-۱۶: ساختار نواری اربیتال s اتم (الف) S (ب) Zn و اربیتال p اتم (ج) Zn (د) S و اربیتال d (ه) Zn ..... ۹۱
- شکل ۴-۱۷: نمودار چگالی حالت کل ZnS در فاز بلندروی ..... ۹۳
- شکل ۴-۱۸: چگالی های جزئی برای کل اتم (الف) Zn و کل اتم (ب) S ..... ۹۴
- شکل ۴-۱۹: چگالی های جزئی مربوط به اربیتال های (الف) p (ب) s اتم Zn و اربیتال های (ج) p (د) s اتم S ..... ۹۵
- شکل ۴-۲۰: چگالی ابر الکترونی (الف) سه بعدی و (ب) دوبعدی همراه با نحوه ی مشارکت در صفحه (۱۱۰) ..... ۹۶
- شکل ۴-۲۱: منحنی انرژی بر حسب حجم ساختار WZ-ZnS با استفاده از تقریب GGA96 ..... ۹۷
- شکل ۴-۲۲: نمودار تغییرات حجم سلول واحد ترکیب ZnS در فاز WZ بر حسب فشار ..... ۱۰۱
- شکل ۴-۲۳: ساختار نوارهای انرژی ZnS برای فاز WZ در تقریب GGA96 ..... ۱۰۲
- شکل ۴-۲۴: نمودار چگالی حالت های کل ZnS در فاز WZ ..... ۱۰۳
- شکل ۴-۲۵: چگالی حالت های جزئی مربوط به اربیتال s اتم های (الف) Zn (ب) S و اربیتال p اتم های (ج) Zn (د) S ..... ۱۰۴
- شکل ۴-۲۶: چگالی ابر الکترونی سه بعدی (الف) و دوبعدی (ب) همراه با نحوه مشارکت در صفحه (۱۱۰) ..... ۱۰۵

## پیش گفتار

در پایان نامه حاضر به بررسی خواص ساختاری و الکترونی ترکیب سولفید روی (ZnS) در فازهای نمک طعام، بلندروی و ورتسایت پرداخته شده است. سولفیدروی ترکیبی با ساختارهای متفاوت است که فازهای پایدار آن بلندروی و ورتسایت می باشند و فاز نمک طعام آن تحت فشار ایجاد می شود. سولفیدروی در دمای اتاق و فشار جو دارای ساختار بلندروی است که با افزایش دما در دمای  $1060^{\circ}\text{C}$  به فاز ورتسایت گذار پیدا می کند. همچنین ترکیب سولفیدروی با افزایش فشار در حدود  $16\text{GPa}$  ساختار نمک طعام را پیدا می کند.

ترکیب سولفیدروی یک نیمرسانای با گاف نواری پهن از خانواده ی نیمرساناهای II-IV می باشد و به دلیل وجود این گاف نواری در وسایل نوری کاربرد زیادی دارد که از جمله کاربردهای آن می توان LEDها و وسایل شب تاب و LCDها را نام برد.

نتایج به دست آمده از محاسبات انجام شده برای فازهای مختلف در این پایان نامه با نتایج به دست آمده توسط دیگران مقایسه شده که سازگاری خوبی با نتایج دیگران دارد.

ترتیب مطالب در این پایان نامه به صورت زیر می باشند:

فصل اول به بررسی خواص ترکیب سولفیدروی و مطالعات انجام شده بر روی این ترکیب پرداخته شده است. ساختارهای متفاوت این ترکیب، خواص ساختاری و الاستیکی، هدایت گرمایی و گذار فاز آن مورد بررسی قرار گرفته شده است همچنین روش های رشد بلور این ترکیب و روش تهیه آن در آزمایشگاه بیان شده است.

در فصل دوم سیستم های بس ذره ای را بررسی می کنیم و سپس به بررسی تقریب های مهم جهت تبدیل معادله ی بس ذره ای به تک ذره ای، نظریه ی تابعی چگالی و بیان قضایای هوهنبرگ و کوهن می پردازیم.

فصل سوم معادله کوهن - شم را مورد بررسی قرار داده و سپس به بررسی نظریه های مختلف نواری برای حل معادله ی کوهن شم می پردازیم و در نهایت ساختار کلی کد محاسباتی مورد استفاده را بررسی می کنیم.

در فصل چهارم محاسبات انجام شده بر روی فازهای بلندروی، نمک طعام و ورتسایت ترکیب سولفیدروی مورد بررسی قرار می گیرد. در این فصل خواص ساختاری و الکترونی ترکیب از جمله بهینه سازی حجم، تأثیر فشار بر روی ترکیب، تراکم پذیری، ساختار نوارهای انرژی، چگالی حالت ها و چگالی ابر الکترونی مورد بررسی قرار می گیرد. در انتها نتایج حاصل در فازهای مختلف با هم و سپس با نتایج تجربی و نظری دیگران بررسی و نتیجه گیری نهایی ارائه شده است.

## ۱-۱ مقدمه

سولفیدروی یک ترکیب شیمیایی با فرمول ZnS به شکل پودر سفید رنگ مایل به زرد است. ZnS از خانوادهی monochalcogenides بوده که همه ی آن ها نیمرساناهای نوع دو با فرمول شیمیایی  $A_{II}B_{IV}$  هستند. حالت های پایدار آن در فازهای مکعبی (اسفالریت) و هگزاگونال (ورتسایت) می باشند [۱].

حالت های پایدار سولفیدروی از زوج لایه های شامل یک صفحه ی Zn و یک صفحه ی S ساخته شده اند در هر دو ساختار زوج لایه ها یکی بالای دیگری قرار گرفته و زوج لایه های متوالی به صورت افقی جابجا شده اند [۲]. ساختار بلندروی (ZnS-Z) از نظر ایتیکی همسانگرد است در حالی که فاز ورتسایت (ZnS-w) ناهمسانگرد با محور قطبی (c) می باشد [۱]. بلورهای بلندروی دارای ساختار fcc با دو اتم در هر یاخته ی بسیط بوده ولی بلورهای ورتسایت دارای ساختار هگزاگونال با چهار اتم در هر یاخته می باشند. در این دو فاز اگر چه تفاوت هایی مانند تعداد اتم ها در یاخته ی بسیط وجود دارد، اما مشابهت هایی نیز مانند یکسان بودن شکل ساختاری آنها تا همسایه دوم وجود دارد. ولی بعد از همسایه ی سوم تفاوت های شبکه ای آنها نمایان می شود [۳].

در سال های اخیر به مواد نیمرسانای با گاف انرژی بزرگ به دلیل اهمیت کاربرد آنها در توان های بالا و دماهای بالا توجه فراوانی شده است. ZnS یک ترکیب نیمرسانای مهم است که در دمای بالا دارای ساختار هگزاگونال (WZ) است [۳]. نیمرساناهای با گاف نواری بزرگ مانند ZnS به دلیل وجود گاف نواری بزرگ کاربردهای زیادی در طول موج های نور آبی دارند. به همین علت ویژگی های ایتیکی و الکترونی آنها مهم هستند [۴-۵]. از جمله کاربردهای آن می توان به استفاده در صفحات نمایش، حافظه های نوری با تراکم بالا، رساناهای شفاف، قطعات لیزر حالت جامد، آشکارسازهای نوری، سلول های نوری و... اشاره کرد. به همین علت دانش ما درباره ی ویژگی های آنها، در طراحی و آنالیز وسایل بسیار مهم است [۵-۱].

اکنون به بررسی عناصر تشکیل دهنده این ترکیب می پردازیم:

گوگرد یا سولفور یکی از عناصر شیمیایی اصلی گروه ششم (VI) در جدول تناوبی و از خانواده ی اکسیژن است. نماد آن S و عدد اتمی آن ۱۶ می باشد. اکتشاف این عنصر به پیش از تاریخ باز می گردد. گوگرد یک غیرفلز بی بو، بی مزه و چند ظرفیتی است که بیشتر به شکل بلورهای زرد رنگ که در کانی های سولفید و سولفات به دست می آید شناخته شده می باشد. گوگرد یک عنصر حیاتی و لازم برای تمامی موجودات زنده بوده و مورد نیاز ساخت اسید آمینوها و پروتئین ها است. این عنصر به صورت اولیه در کودها استفاده می شود، ولی به صورت گسترده تر در باروت، ملین ها، کبریت ها و حشره کش ها به کار گرفته می شود. چون گوگرد یک غیرفلز است انواع ترکیبات یونی به وجود می آورد که از جمله این ترکیبات می توان به سولفیدروی (ZnS)، سولفیدمس (CuS) و سولفیدجیوه (HgS) اشاره کرد. گوگرد به صورت آزاد و ترکیبی موارد مصرف بسیاری دارد ولی بیشترین کاربرد آن برای تهیه ی ترکیبات شیمیایی و فرآورده های میانی در چرخه صنعت است. بیشترین مصرف گوگرد در سال های اخیر در صنایع کشاورزی و تهیه کودهای فسفات بوده است.

روی یکی از عناصر جدول تناوبی است که نماد آن Zn و عدد اتمی آن ۳۰ می باشد. روی فلزی است به رنگ سفید متمایل به آبی که بر اثر رطوبت هوا تیره رنگ می شود و در حین احتراق رنگ سبز براقی تولید می کند. روی بعد از آهن، آلومینیوم و مس چهارمین فلز مورد استفاده در دنیا می باشد. از موارد استفاده روی می توان آلیاژهای مختلف و فولاد گالوانیزه را نام برد.

این فلز دارای وزن اتمی ۶۵/۳۸، چگالی  $\frac{gr}{cm^3}$  ۷/۱۳۳ و نقطه ی ذوب  $1191.83^{\circ}C$  می باشد، همچنین درجه سختی آن بر حسب واحد موهس ۲/۵ بوده و دارای ظرفیت ۲ در گروه IIB جدول تناوبی می باشد. این فلز دارای ایزوتوپ های طبیعی ۷۰، ۶۸، ۶۶، ۶۴ و ایزوتوپ های رادیواکتیو ۷۲، ۷۱، ۶۹، ۶۵، ۶۳، ۶۰ است.

روی فلزی نرم و سفید با قابلیت چکش خواری با جلای خاکستری متمایل به آبی قابل حل در اسیدها و بازها و غیر قابل حل در آب می باشد.

روی برای آب کاری فلزات استفاده می شود تا از زنگ زدگی آنها جلوگیری کند. همچنین روی در آلیاژی نظیر برنج، فلز ماشین تحریر، فرمول های مختلف لحیم نقره آلمانی و... نیز به کار می رود. برنج به دلیل استقامت و مقاومت در برابر زنگ زدگی و خوردگی کاربردهای وسیعی دارد. روی به طور گسترده در صنعت خودرو سازی استفاده می شود، همچنین روی لوله ای به عنوان قسمتی از محتوی باطری ها مورد استفاده قرار می گیرد.

ZnS ترکیبی از این دو عنصر است که خاصیت نیم رسانای با گاف نواری پهن و مستقیم دارد. به دلیل وجود گاف نواری پهن، این ترکیب برای LED ها و LD های نور آبی مناسب است. به همین علت در سال های اخیر مطالعات زیادی بر روی این مواد به دلیل کاربرد آنها متمرکز شده است. در زمینه رشد لپور به خلوص بالایی از ترکیب نمی توان دست یافت به این دلیل که دمای ذوب ( $1830^{\circ}\text{C}$ ) و همچنین فشار تفکیکی بسیار بالایی ( $3 \times 10^4 \text{ Pa}$ ) دارد.

همچنین این ترکیب با کاهش دما گذار انتقالی از فاز ورتسایت در دمای  $1060^{\circ}\text{C}$  به فاز بلندروی دارد. برخی از مشخصات فیزیکی این ترکیب در جدول (1-1) آورده شده است. کارهای تجربی فراوانی روی آن انجام شده است که اولین کار تجربی در سال 1969 [5] انجام گردید. جهت اطلاعات بیشتر می توان به مراجع [6-7] مراجعه نمود.

جدول ۱-۱: مشخصات فیزیکی ترکیب ZnS [۸].

$\beta$ - ZnS	$\alpha$ - ZnS	
بلندروی	ورتسایت	ساختار بلوری
$a = 5/409 \text{ \AA}$	$a = 3/820 \text{ \AA}$ و $c = 6/260 \text{ \AA}$	ثابت شبکه
$4/102 \text{ gr/cm}^3$	$4/087 \text{ gr/cm}^3$	چگالی
$1830^\circ \text{ C}$	$1830^\circ \text{ C}$	نقطه ذوب
$6/48 \times 10^{-6} / \text{deg}$	$6/48 \times 10^{-6} / \text{deg}$	ضریب انبساط خطی
$0/27 \text{ W/cm.K}$	$0/27 \text{ W/cm.K}$	رسانایی گرمایی
۹/۶	۸/۳	ثابت دی الکتریک
۲/۷۰۵	۲/۷۰۵	ضریب شکست
۳/۵۴eV	۳/۶۶eV	گاف نواری در دمای اتاق
مستقیم	مستقیم	نوع گاف نواری در راستای $\Gamma$
$140 \text{ cm}^2/\text{V.sec}$	$140 \text{ cm}^2/\text{V.sec}$	تحرك الكترون

## ۲-۱ ساختارهای بلوری

برای این ماده ساختارهای متفاوتی گزارش شده است که ساختارهای پایدار آن بلندروی و ورتسایت می باشند ولی تحت تأثیر فشار، شکل بلوری آن تغییر خواهد کرد و به شکل های دیگری در می آید. نتایج آزمایشگاهی نشان می دهد که ترکیب سولفیدروی با افزایش فشار (در حدود  $16 \text{ GPa}$ ) از فاز بلندروی و ورتسایت گذار فازی به ساختار RS انجام می دهد. همچنین محاسبات نظری نشان می دهد که ZnS در فشار



متوسط (۱۶-۱۲ GPa) دو فاز دیگر نیز دارد، یک فاز آن مکعبی ساده (SC16) و دیگری Cinnabar است که

فاز مکعبی آن تحت فشار از نظر ترمودینامیکی پایدارتر است [۹].

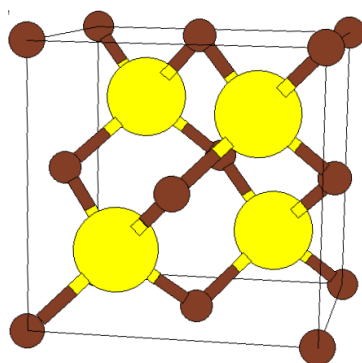
در ادامه به بررسی ساختارهای سولفیدروی می پردازیم:

### ۱-۲-۱ ساختار و ویژگی های فاز بلندروی $B_3$ (Zincblende)

ساختار سولفیدروی در دمای اتاق و فشار جو به شکل بلندروی است که اکثر مشخصات مربوط به این

نیمرسانا در این فاز است. ثابت شبکه تجربی آن برابر  $a=0.357 \text{ nm}$  و دارای گروه فضایی  $F43m$  می باشد.

شکل (۱-۱) ساختار فاز بلندروی را نشان می دهد [۱۰].



شکل ۱-۱: سلول واحد برای ساختار بلندروی.

در هر یاخته قراردادی آن ۸ اتم وجود دارد. جایگاه این اتمها به ترتیب برای گوگرد (S) در  $(0,0,0)$  و

برای روی (Zn) در  $(\frac{1}{4}, \frac{1}{4}, \frac{1}{4})$ ،  $(\frac{3}{4}, \frac{3}{4}, \frac{3}{4})$  می باشد. بردارهای بسیط این ساختار عبارتند از:

$$A_1 = \frac{1}{4}a\hat{y} + \frac{1}{4}a\hat{z} \quad \text{و} \quad A_2 = \frac{1}{4}a\hat{x} + \frac{1}{4}a\hat{z} \quad \text{و} \quad A_3 = \frac{1}{4}a\hat{y} + \frac{1}{4}a\hat{x}$$

همچنین بردارهای پایه ی این ساختار عبارتند از:

$$B_1 = \frac{1}{4}a\hat{x} + \frac{1}{4}a\hat{y} + \frac{1}{4}a\hat{z} \quad \text{و} \quad B_2 = 0$$

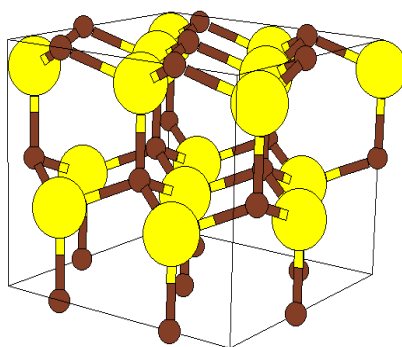
ZnS وزن مولکولی برابر  $97.44$  و وزن اتمی میانگین برابر  $42.72$  دارد. آنتالپی ساختار بلندروی برابر

$-260 \text{ KJ/mol}$  می باشد. چگالی آن در دمای اتاق متغیر است که بازه ی گزارش شده آن از  $4.075 \text{ gr/cm}^3$  تا

$4/102 \text{ gr/cm}^3$  می باشد. همچنین ضریب انبساط حرارتی آن در دمای اتاق برابر  $1/K \times 10^{-6} \times 6/36$  است [۸].

### ۲-۲-۱ ساختار ورتسایت $B_4$ (Wurtzite)

فاز پایدار بعدی فاز ورتسایت می باشد این فاز در بالای دمای  $1100 \text{ K}$  پایدار است. یعنی ساختار بلندروی تحت تأثیر دما از فاز پایدار بلندروی وارد فاز ورتسایت خواهد شد که ثابت های شبکه آن برابر با  $a=3/811 \text{ \AA}$  و  $c=6/234 \text{ \AA}$  بوده و گروه فضایی آن نیز  $P6_3mc$  می باشد. شکل (۲-۱) ساختار ورتسایت را نشان می دهد [۱۱].



شکل ۲-۱: ساختار ورتسایت سولفید روی.

مکان گوگرد در اتم های پایه در دو جایگاه  $(0,0,0)$  و  $(\frac{2}{3}, \frac{1}{3}, \frac{1}{3})$  و مکان های پایه در اتم های پایه به ترتیب در دو جایگاه  $(\frac{2}{3}, \frac{1}{3}, \frac{1}{8})$  و  $(0,0,\frac{5}{8})$  می باشند. در هر یاخته قراردادی ساختار ورتسایت ۱۲ اتم وجود دارد. عدد هم آرایبی این ساختار نیز همانند فاز بلند روی ۲ می باشد. این ساختار آلوتروپ های هگزاگونال دیگری نیز دارد که تفاوت ساختاری آنها در نسبت  $(c/a)$  است. مانند:  $4H-ZnS$  با  $a=3/814 \text{ \AA}$  و  $c=12/246 \text{ \AA}$ ،  $6H-ZnS$  با  $a=3/821 \text{ \AA}$  و  $c=18/73 \text{ \AA}$ ، همچنین  $8H-ZnS$  و  $10H-ZnS$ . شکل (۳-۱) آلوتروپ های ساختار ورتسایت را نشان می دهد [۸].

بردارهای بسیط این ساختار علیتند از:

$$A_r = cZ \quad \text{و} \quad A_r = \frac{1}{2}aX + \frac{\sqrt{3}}{2}aY \quad \text{و} \quad A_l = \frac{1}{2}aX - \frac{\sqrt{3}}{2}aY$$

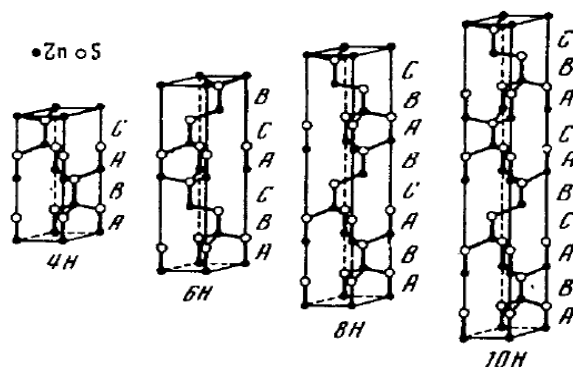
همچنین بردارهای پایه‌ی این ساختار عبارتند از:

$$B_r = \frac{1}{2}aX - \frac{1}{2\sqrt{3}}aY + \frac{1}{2}cZ$$

$$B_l = \frac{1}{2}aX + \frac{1}{2\sqrt{3}}aY$$

$$B_i = \frac{1}{2}aX - \frac{1}{2\sqrt{3}}aY + \left(\frac{1}{2} + u\right)cZ$$

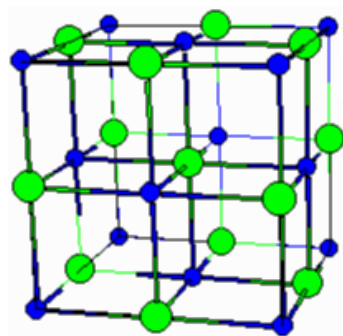
$$B_r = \frac{1}{2}aX + \frac{1}{2\sqrt{3}}aY + ucZ$$



شکل ۱-۳: سلختار آلوتروپ‌های مختلف ZnS در فاز ورتسایت [۸].

### ۱-۲-۳ ساختار نمک طعام $B_1$ (RockSalt)

این ساختار در حالت ناپایدار وجود دارد که دارای فاز مکعبی مرکز سطحی (fcc) با ثابت شبکه  $a=0.357 \text{ \AA}$  و گروه فضایی  $Fm3m$  است این فاز تحت فشار حدود  $16 \text{ GPa}$  ایجاد می‌شود. گذار فاز از هر دو ساختار بلندروی و ورتسایت امکان پذیر است. شکل (۱-۴) ساختار سولفیدروی را در این ساختار نشان می‌دهد.



شکل ۱-۴: ساختار نمک طعام سولفیدروی [۱۲].

بردارهای بسیط این ساختار عبارتند از:

$$A_r = \frac{1}{\sqrt{2}}a\hat{y} + \frac{1}{\sqrt{2}}a\hat{z} \quad \text{و} \quad A_r = \frac{1}{\sqrt{2}}a\hat{x} + \frac{1}{\sqrt{2}}a\hat{z} \quad \text{و} \quad A_r = \frac{1}{\sqrt{2}}a\hat{y} + \frac{1}{\sqrt{2}}a\hat{z}$$

همچنین بردارهای پایه‌ی این ساختار عبارتند از:

$$B_r = \frac{1}{\sqrt{2}}a\hat{x} + \frac{1}{\sqrt{2}}a\hat{y} + \frac{1}{\sqrt{2}}a\hat{z} \quad \text{و} \quad B_r = 0$$

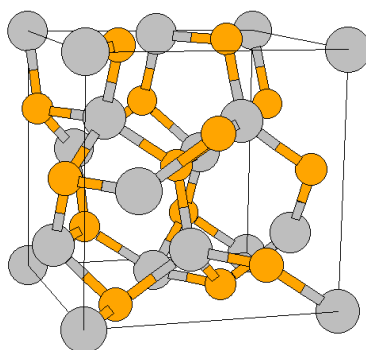
### ۴-۲-۱ ساختار مکعبی ساده (SC16)

این ساختار تحت فشار متوسط ۱۶/۲-۱۲/۸ GPa بوجود می‌آید که از نظر ترمودینامیکی در محدوده‌ی این

فشار پایدار است. ثابت شبکه این ساختار برابر  $a=۳۵۸۶\text{\AA}$  است و گروه فضایی آن Pa3 می‌باشد. این فاز

دارای ساختار تتراگونال با فشردگی بیشتر از ساختار الماس است. شکل (۵-۱) ساختار این فاز را نشان

می‌دهد [۱۳].



شکل ۵-۱: ساختار مکعبی ساده ZnS.

که بردارهای بیسیت آن عبارتند از:

$$A_r = a\hat{z} \quad \text{و} \quad A_r = a\hat{y} \quad \text{و} \quad A_r = a\hat{x}$$

و همچنین بردارهای پایه‌ی این ساختار عبارتند از:

$$B_r = (\frac{1}{\sqrt{2}} + X_r)a\hat{x} + (\frac{1}{\sqrt{2}} - X_r)a\hat{y} - X_r a\hat{z} \quad \text{و} \quad B_r = X_r a\hat{x} + X_r a\hat{y} + X_r a\hat{z}$$

$$B_r = (\frac{1}{\sqrt{2}} - X_r)a\hat{x} - X_r a\hat{y} + (\frac{1}{\sqrt{2}} + X_r)a\hat{z} \quad \text{و} \quad B_r = -X_r a\hat{x} + (\frac{1}{\sqrt{2}} + X_r)a\hat{y} + (\frac{1}{\sqrt{2}} - X_r)a\hat{z}$$

$$B_r = (\frac{1}{\sqrt{2}} - X_r)a\hat{x} + (\frac{1}{\sqrt{2}} + X_r)a\hat{y} + X_r a\hat{z} \quad \text{و} \quad B_r = -X_r a\hat{x} - X_r a\hat{y} - X_r a\hat{z}$$

$$B_r = (\frac{1}{\sqrt{2}} + X_r)a\hat{x} + X_r a\hat{y} + (\frac{1}{\sqrt{2}} - X_r)a\hat{z} \quad \text{و} \quad B_r = +X_r a\hat{x} + (\frac{1}{\sqrt{2}} - X_r)a\hat{y} + (\frac{1}{\sqrt{2}} + X_r)a\hat{z}$$